

A scenic sunset over a body of water. The sky is filled with large, dark clouds, with the sun breaking through in the upper right, creating a bright glow and rays of light. The sun is low on the horizon, casting a golden glow across the water and reflecting on the surface. In the foreground, a wooden pier extends from the bottom left towards the center. A small boat is visible on the water in the middle ground. The overall atmosphere is serene and dramatic.

Compléments algorithmiques:

- *minimisation dans l'analyse variationnelle*
- *assimilation en temps réel*

Minimisation en analyse variationnelle:

- comment calculer le gradient de J
- comment trouver le minimum de J
- le cas du 4D-Var

rappel mathématique: dérivée vectorielle, gradient

car la plupart des minimiseurs utilisent la dérivée de J

Soit F une application vectorielle $\mathbb{R}^n \rightarrow \mathbb{R}^p$:

- la dérivée (ou **différentielle**) de F est l'opérateur linéaire F' tel que

$$\forall(x, h) \quad F(x+h) = F(x) + F'(x) h + O(\|h\|^2)$$

- F'(x) est une matrice à p lignes et n colonnes
- les coefficients F_{ij} de la matrice F' sont les dérivées partielles $\partial F_i / \partial x_j$ de F. Ils mesurent la sensibilité de la i-ième sortie de F par rapport à sa j-ième entrée, au voisinage de x.

Cas de la fonction-coût J de l'analyse variationnelle:

- J(x) est un scalaire, J' est un vecteur (identifié à une forme linéaire) ∇J appelé **gradient de J**.

• la dérivée de $\mathbf{J}(\mathbf{x}) = (\mathbf{x} - \mathbf{x}_b)^T \mathbf{B}^{-1} (\mathbf{x} - \mathbf{x}_b) + (\mathbf{y} - \mathbf{H}[\mathbf{x}])^T \mathbf{R}^{-1} (\mathbf{y} - \mathbf{H}[\mathbf{x}])$

est le vecteur $\nabla \mathbf{J}(\mathbf{x}) = 2 \mathbf{B}^{-1} (\mathbf{x} - \mathbf{x}_b) - 2 \mathbf{H}'^T \mathbf{R}^{-1} (\mathbf{y} - \mathbf{H}[\mathbf{x}])$

calcul de la dérivée de J par code adjoint

• la dérivée de $J(\mathbf{x}) = (\mathbf{x} - \mathbf{x}_b)^T \mathbf{B}^{-1} (\mathbf{x} - \mathbf{x}_b) + (\mathbf{y} - \mathbf{H}[\mathbf{x}])^T \mathbf{R}^{-1} (\mathbf{y} - \mathbf{H}[\mathbf{x}])$

est le *gradient* $\nabla J(\mathbf{x}) = 2 \mathbf{B}^{-1} (\mathbf{x} - \mathbf{x}_b) - 2 \mathbf{H}'^T \mathbf{R}^{-1} (\mathbf{y} - \mathbf{H}[\mathbf{x}])$

Si \mathbf{x} ou \mathbf{y} sont grands, et \mathbf{H} est complexe, on évite de calculer la matrice .

\mathbf{H} est une composée d'applications (une suite de lignes de code)

$\mathbf{H}_1 \circ \mathbf{H}_2 \circ \dots \circ \mathbf{H}_m$

\mathbf{H}' est sa différentielle = produit des différentielles:

$\mathbf{H}'_1 \mathbf{H}'_2 \dots \mathbf{H}'_m$

\mathbf{H}'^T est sa transposée = produit des transposées:

$\mathbf{H}'_m{}^T \dots \mathbf{H}'_2{}^T \mathbf{H}'_1{}^T$

c'est le **code adjoint de \mathbf{H}** = suite inverse des transposées des lignes de code (faisable par différentiation automatique)

ex: $a = b^{**2}$

$c = 3 * b$

devient:

$db = 0$ # injection canonique = adjoint du end-of-scope de b

$db = db + 3 * dc$

$db = db + 2 * b * da$ # b est la valeur de b , db sa perturbation

préconditionnement de la minimisation

• on veut minimiser $J(\mathbf{x}) = (\mathbf{x} - \mathbf{x}_b)^T \mathbf{B}^{-1} (\mathbf{x} - \mathbf{x}_b) + (\mathbf{y} - \mathbf{H}[\mathbf{x}])^T \mathbf{R}^{-1} (\mathbf{y} - \mathbf{H}[\mathbf{x}])$

la dérivée seconde est $\mathbf{J}'' = 2\mathbf{B}^{-1} + 2\mathbf{H}^T \mathbf{R}^{-1} \mathbf{H}$

la vitesse de minimisation est améliorée si J est à peu près diagonale
(minimiser le ratio entre +grande et +petite valeur propre)

Exemple: preconditionnement par changement de variable:

si $\mathbf{B}^{-1} = \mathbf{L}^{-T} \mathbf{L}$ avec \mathbf{L} inversible: on pose $\mathbf{z} = \mathbf{L}(\mathbf{x} - \mathbf{x}_b)$

alors $J(\mathbf{x}) = G(\mathbf{z}) = \mathbf{z}^T \mathbf{z} + (\mathbf{y} - \mathbf{H}[\mathbf{x}])^T \mathbf{R}^{-1} (\mathbf{y} - \mathbf{H}[\mathbf{x}])$

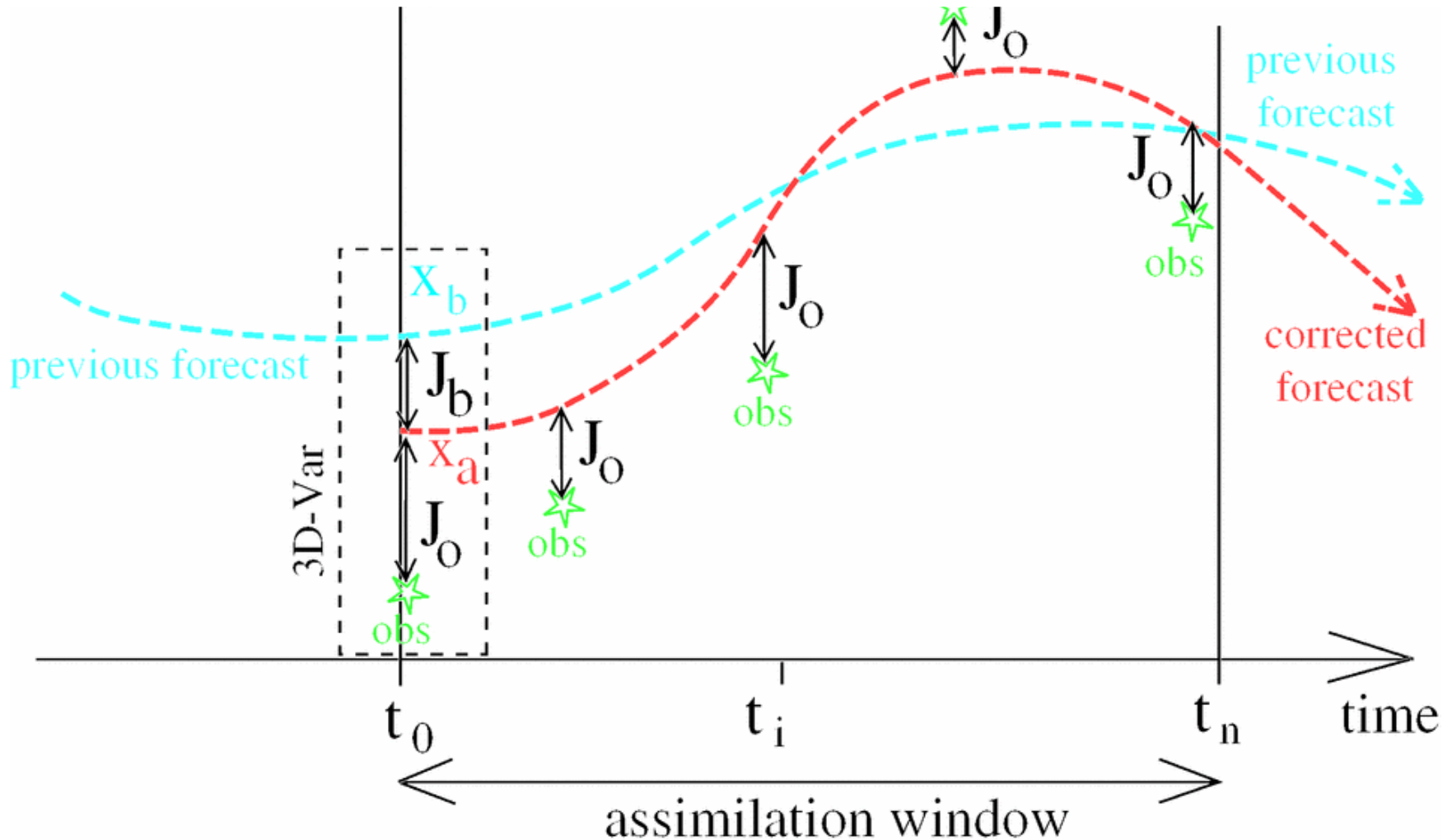
et $G'' = \mathbf{I} + \dots$

si le nombre d'obs est $\ll \dim \mathbf{x}$, cela permet de gagner plusieurs ordres de grandeur sur la vitesse de minimisation

Assimilation 4DVar: généralisation du BLUE à un historique d'observations, à l'aide d'un modèle de prévision M

$$J(x) = (x - x_b)^T B^{-1} (x - x_b) + \sum_i (y_i - H_i[\mathbf{M}_i(x)])^T R_i^{-1} (y_i - H_i[\mathbf{M}_i(x)])$$

La variable de minimisation est l'état x du modèle au début de la fenêtre.



Minimisation du 4DVar

fonction-coût du 4DVar à minimiser:

$$x \rightarrow J(x) = (x - x_b)^T B^{-1} (x - x_b) + \sum_k (y_k - H_k \circ M_k[x])^T R_k^{-1} (y_k - H_k \circ M_k[x])$$

avec le modèle de prévision $M_k: x=x(t_0) \rightarrow x(t_k)=M_k(x)$

le gradient devient $2 B^{-1} (x - x_b) - 2 \sum_k M_k^T H_k^T R_k^{-1} (y_k - H_k \circ M_k[x])$

or M est une succession de pas de temps: $M_k = N_k N_{k-1} N_{k-2} \dots N_1$

en factorisant on organise le calcul du gradient de droite ainsi:

- 1) pour chaque x_i , intégrer et stocker la '**trajectoire**' ($M_1(x)$, $M_2(x)$,..., $M_k(x)$)
- 2) calculer les écarts obs-trajectoire: $d_k = (y_k - H_k \circ M_k[x])$
- 3) les multiplier par $H_k^T R_k^{-1} d_k = e_k$
- 4) intégrer et stocker le '**modèle adjoint forcé**': $z_k=0, z_{k-1} = M_{k-1} z_k + e_k$

Chaque itération de la minimisation coûte 1 intégration du modèle de prévision + 1 intégration adjointe

e modèle est parallélisable, mais pas la minimisation

Assimilation en temps réel:

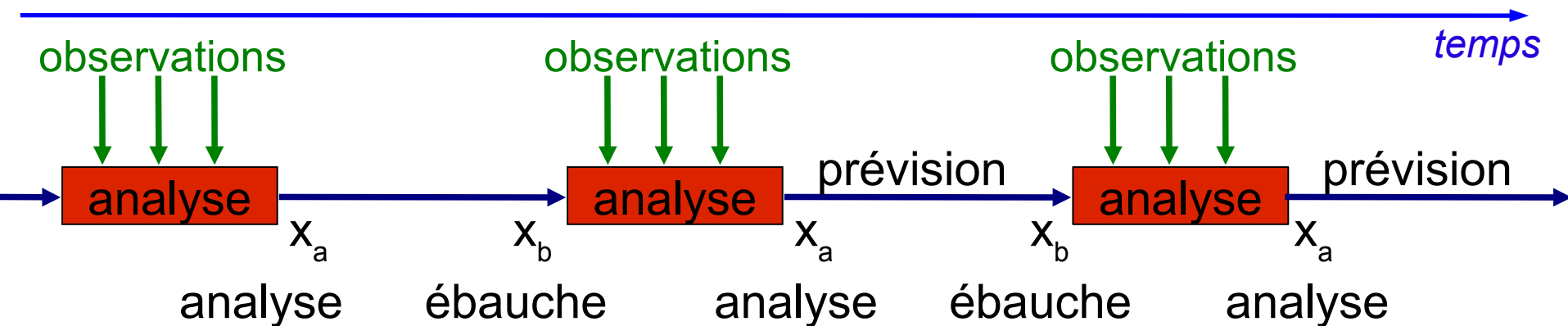
- notion de cutoff des observations
- production de prévisions en temps réel

Assimilations de données temps réel

- :
- pour faire des prévisions
 - pour le suivi climatique

Problèmes:

- les observations arrivent plus ou moins tard
- des défaillances peuvent rompre la chaîne d'assimilation



Temps réel: notion de 'cutoff'

Plus on attend, et...

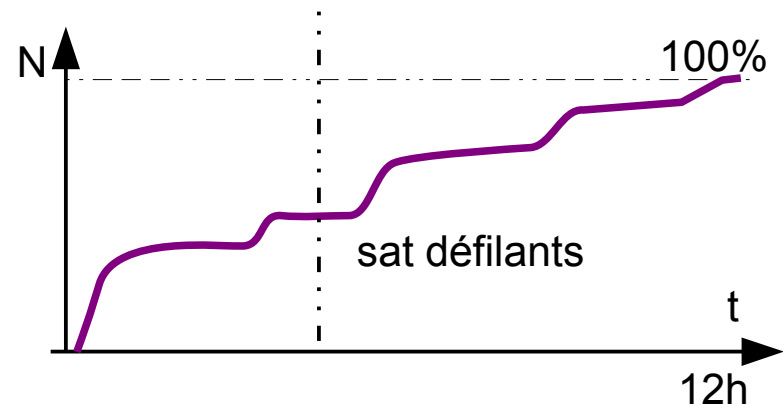
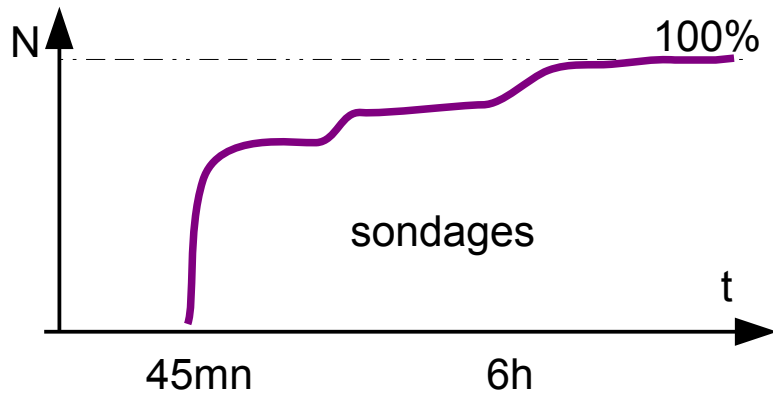
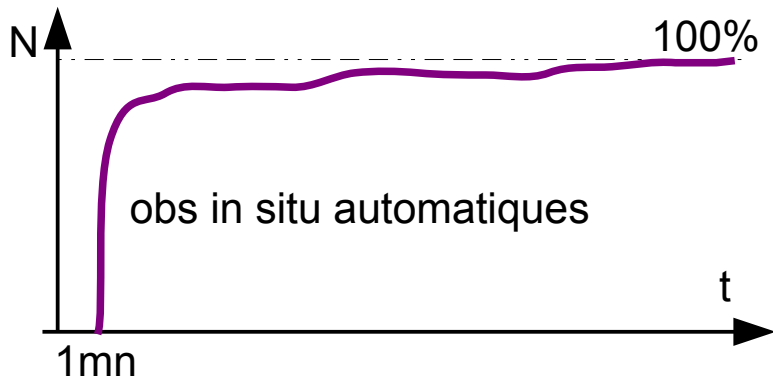
- ...plus il y a d'obs à assimiler -> meilleures analyses -> meilleures ébauches
- ...moins l'analyse est utile, parce que les prévisions seront disponibles plus/trop tard pour les usagers.

Chaque type d'obs présente des **latences**: différence entre instant de mesure, et instant de disponibilité dans le système d'analyse:

- réseau de surface in situ automatisé: <1mn
- sondages: 45mn (temps d'ascendance)
- radar: 5 à 15mn (période de balayage)
- satellite géostationnaire: quelques mn (segment sol) + temps de balayage de l'imageur
- satellite défilant: de quelques mn à plusieurs heures en fonction de l'orbitographie et des stations de réception au sol

Temps réel: notion de 'cutoff'

diagrammes typiques: $N_{obs} = f(t_{latence})$



'cutoff': instant à partir duquel on cesse d'attendre les observations, et on commence à calculer l'analyse.

Centre de prévision temps réel

On fait tourner 2 chaînes couplées:

- une à cutoff long (~5h), de haute qualité mais tardive
- une à cutoff court (~10mn), non cyclée, pour la production à flux tendus, avec uniquement les obs les plus fraîches

